

1 AES ŠTANDARD – BLOKOVÁ ŠIFRA RIJNDAEL

1.1 ÚVOD

Americký úrad (National Institute of Standards and Technology – NIST) vyhlásil v roku 1997 verejnú súťaž na výber nového symetrického blokového algoritmu na ochranu citlivých údajov [1]. Cieľom bolo vybrať blokový šifrovací algoritmus, ktorý by nahradil dnes už málo bezpečný algoritmus DES (Data Encryption Standard) [2]. V roku 1998 NIST ohlásil predbežný výber 15 kandidátov a vyzval kryptografickú komunitu na ich analýzu. Táto analýza zahrňovala analýzu bezpečnostných ako aj rýchlostných a implementačných parametrov jednotlivých kandidátov. Na základe výsledkov tejto predbežnej analýzy NIST vybral v lete 1999 5 finalistov – algoritmy MARS, RC6, Rijndael, Serpent a Twofish. Na základe ďalšej verejnej analýzy NIST 2. októbra 2000 ohlásil víťaza celého výberového konania – algoritmus Rijndael. Dôvody výberu a porovnanie s parametrami ostatných finalistov NIST zverejnil vo verejne dostupnej správe [3].

NIST v novembri 2001 zverejnil nový štandard (Advanced Encryption Standard - AES) ako oficiálny dokument FIPS PUB 197 [5]. Je teda možné konštatovať, že výber AES prebiehal za kvalitatívne úplne odlišných podmienok ako výber jeho predchodcu – DESu. Dôvody výberu jednotlivých blokov algoritmu DES neboli dodnes zverejnené a predstavujú tak stále určitý zdroj nedôvery k algoritmu DES. Očakáva sa, že AES by sa mal stať najpoužívanejším symetrickým blokovým šifrovacím algoritmom.

1.2 ALGORITMUS RIJNDAEL

Algoritmus Rijndael [4] prihlásili do súťaže dvaja Belgičania – Joan Daemen a Vincent Rijmen. Materiál [4] obsahuje úplný opis šifry, základné matematické operácie použité v šifre, dôvody výberu jednotlivých parametrov ako aj možné spôsoby optimalizácie na rôznych platformách (8-bitové, 32-bitové procesory). Stručný opis algoritmu Rijndael je možné nájsť aj v [6]. V rámci cvičenia opíšeme základné operácie, vlastnosti a štruktúru algoritmu pre šifrovanie a expanziu kľúča, ďalšie podrobnosti je možné nájsť v [4],[5].

1.2.1 ZÁKLADNÉ OPERÁCIE V TELESE $GF(2^8)$

Galoisove teleso (Galois Field) $GF(2^8)$ je *konečné teleso* (pojem zavedený v algebre a diskretnej matematike), ktoré má 256 prvkov. Konečné teleso je množina

prvkov, ktoré nazývame čísla alebo prvky poľ'a¹ $A \in GF(2^8)$, spolu s definíciou dvoch operácií nazývaných "sčítanie +" a "násobenie •", pričom tieto operácie splňujú základné požiadavky akými sú **komutatívny, distributívny a asociatívny zákon, existencia** prvku 0 a 1, ktoré splňujú podmienky $A+0=A$, $1 \cdot A=A$, existenciu **inverzného prvku** $A \cdot A^{-1}=1$ pre $A \neq 0$.

Prvky $A \in GF(2^8)$ je možné reprezentovať viacerými spôsobmi. V [4] bola využitá reprezentácia pomocou polynómov. 256 prvkov $GF(2^8)$ je možné reprezentovať v jednom bajte. Nech prvky $A, B \in GF(2^8)$ sú reprezentované v tvare

$$\mathbf{a} = (a_7, a_6, \dots, a_0), \quad A \leftrightarrow a(X) = \sum_{i=0}^7 a_i X^i \quad (1.1)$$

$$\mathbf{b} = (b_7, b_6, \dots, b_0), \quad B \leftrightarrow b(X) = \sum_{i=0}^7 b_i X^i \quad (1.2)$$

Aj keď ďalej opísané matematické operácie v $GF(2^8)$ sú neštandardné, sú technicky ľahko realizovateľné ako programovo tak aj pomocou špecializovaných technických prostriedkov (napr. hradlových polí, obvodov ASIC, ...).

1.2.1.1 SČÍTANIE

Sčítanie je v $GF(2^8)$ veľmi jednoduché a realizuje sa sčítaním po zložkách v modulo-2 aritmetike podľa vzťahov

$$\begin{array}{ll} 0+0=0 & 0 \cdot 0=0 \\ 0+1=1 & 1 \cdot 0=0 \\ 1+0=1 & 0 \cdot 1=0 \\ 1+1=0 & 1 \cdot 1=1 \end{array} \quad (1.3)$$

Príklad 1

Ukážte, že v $GF(2^8)$ platí

$$0x57+0x83=0xD4$$

pričom zápis 0x.. znamená hexadecimálny zápis bajtu.

1.2.1.2 NÁSOBENIE

Násobenie v $GF(2^8)$ je definované zložitejším predpisom. Pre polynomiálnu reprezentáciu (1.1)-(1.2) je násobenie realizované ako násobenie polynómov $a(X)$ a $b(X)$ modulo ireducibilný binárny polynóm stupňa 8. V [4] je **ireducibilný polynóm**

¹ Veľkými písmenami budeme v tomto texte označovať prvky z telesa $A \in GF(2^8)$, t.j. prvky, ktoré je potrebné reprezentovať viacbitovými hodnotami. Malými písmenami budeme označovať prvky z telesa $a \in GF(2)$, t.j. prvky ktoré môžu nadobúdať hodnoty 0 a 1. Platí teda $A \leftrightarrow \mathbf{a} = (a_7, a_6, \dots, a_0)$, pričom \mathbf{a} reprezentuje vektor bitov.

stupňa 8 **nad telesom** $GF(2)$ (t.j. má len koeficienty 0 a 1) označený ako $m(X)$ a je definovaný v tvare

$$\mathbf{m} = (1, 0, 0, 0, 1, 1, 0, 1, 1), \quad m(X) = X^8 + X^4 + X^3 + X + 1 \quad (1.4)$$

Násobenie dvoch prvkov $A, B \in GF(2^8)$ je definované takto:

$$A \cdot B \leftrightarrow (\mathbf{a} \cdot \mathbf{b})_{GF(2^8)} = a(X)b(X) \bmod m(X) \quad (1.5)$$

Príklad 2

Ukážte, že v $GF(2^8)$ s polynómom $m(X)$ (1.4) platí $0x57 \cdot 0x83 = 0xC1$.

Je zrejmé, že počítanie súčinu $GF(2^8)$ pomocou vzťahu (1.5) je relatívne komplikované a napr. pre softvérovú realizáciu neefektívne. V prílohe je uvedený postup, ktorý umožňuje pomocou dvoch tabuliek realizovať násobenie v $GF(2^8)$ veľmi jednoduchým spôsobom. Tento spôsob realizácie je typicky využívaný v softvérových implementáciách, ktoré majú k dispozícii dostatočnú pamäť.

V implementáciách algoritmu AES pomocou 8-bitových mikroprocesorov, ktoré sú často využívané v inteligentných kartách (smart cards) je výhodné² použiť funkciu $\mathbf{b} = \mathbf{xtime}(\mathbf{a})$. Táto funkcia realizuje výpočet

$$\mathbf{b} = (\mathbf{2} \cdot \mathbf{a})_{GF(2^8)} = Xb(X) \bmod m(X) \quad (1.6)$$

Vzťah (1.6) realizuje násobenie prvku \mathbf{a} konštantným prvkom $(2)_{GF(2^8)}$. Tento výpočet je možné realizovať pomocou inštrukcie rotácie vľavo a podmieneného XOR súčtu s prvkom $0x11B^3$ v prípade, že po rotovaní je výsledok väčší ako 255.

1.2.1.3 POLYNÓMY S KOEFICIENTMI Z TELESA $GF(2^8)$

Podobne ako boli definované binárne polynómy vo vzťahoch (1.1)-(1.2), je možné definovať aj polynómy nad telesom $GF(2^8)$ (t.j. s koeficientmi ktoré sú prvkami z telesa $GF(2^8)$). Takto je možné priradiť 4-bajtovému vektoru polynóm menšieho stupňa ako 4. Takto definované polynómy je možné sčítavať tak, že sa zodpovedajúce koeficienty sčítajú v $GF(2^8)$, čo je možné realizovať sčítaním jednotlivých bitov modulo-2.

Násobenie je opäť podstatne komplikovanejšie. Uvažujme dva polynómy $A(X)$, $B(X)$ definované nad telesom $GF(2^8)$

² Algoritmus Rijndael využíva len násobenia dvoch prvkov v $GF(2^8)$, pričom jeden z nich je vždy konštantný a má pomerne malú hodnotu. Táto skutočnosť umožňuje využiť funkciu $\mathbf{xtime}()$ pomocou jednoduchého rozkladu ako napr. $\mathbf{b} = \mathbf{xtime}(9 \cdot \mathbf{a}) = \mathbf{xtime}((8+1) \cdot \mathbf{a}) = \mathbf{xtime}(\mathbf{xtime}(\mathbf{xtime}(\mathbf{a}))) + \mathbf{a}$.

³ Samozrejme v prípade reálnej implementácie pomocou procesora je možné s výhodou využívať rotáciu do príznakového registra Carry a podmienené vykonanie XOR operácie s 8-bitovým prvkom $0x1B$.

$$A(X) = A_3X^3 + A_2X^2 + A_1X + A_0 \quad (1.7)$$

$$B(X) = B_3X^3 + B_2X^2 + B_1X + B_0 \quad (1.8)$$

Pre ich súčin platí

$$C(X) = A(X) \cdot B(X) = C_6X^6 + C_5X^5 + C_4X^4 + C_3X^3 + C_2X^2 + C_1X + C_0 \quad (1.9)$$

pričom

$$\begin{aligned} C_0 &= A_0 \cdot B_0 \\ C_1 &= A_1 \cdot B_0 \oplus A_0 \cdot B_1 \\ C_2 &= A_2 \cdot B_0 \oplus A_1 \cdot B_1 \oplus A_0 \cdot B_2 \\ C_3 &= A_3 \cdot B_0 \oplus A_2 \cdot B_1 \oplus A_1 \cdot B_2 \oplus A_0 \cdot B_3 \\ C_4 &= A_3 \cdot B_1 \oplus A_2 \cdot B_2 \oplus A_1 \cdot B_3 \\ C_5 &= A_3 \cdot B_2 \oplus A_2 \cdot B_3 \\ C_6 &= A_3 \cdot B_3 \end{aligned} \quad (1.10)$$

Výsledok súčinu $C(X)$ vo všeobecnom prípade nie je možné reprezentovať pomocou 4 bajtov. Redukciou polynómu $C(X)$ vo vzťahu (1.9) pomocou modulo operácie s polynómom stupňa 4 je možné výsledok reprezentovať pomocou 4 bajtov. Algoritmus Rijndael používa polynóm $M(X) = X^4 + 1$ pre ktorý platí

$$X^j \bmod (X^4 + 1) = X^{j \bmod 4} \quad (1.11)$$

Modulárny súčin $A(X)$ a $B(X)$ označený ako $D(X) = A(X) \otimes B(X)$ je rovný

$$D(X) = A(X) \cdot B(X) \bmod M(X) = D_3X^3 + D_2X^2 + D_1X + D_0 \quad (1.12)$$

pričom

$$\begin{aligned} D_0 &= A_0 \cdot B_0 \oplus A_3 \cdot B_1 \oplus A_2 \cdot B_2 \oplus A_1 \cdot B_3 \\ D_1 &= A_1 \cdot B_0 \oplus A_0 \cdot B_1 \oplus A_3 \cdot B_2 \oplus A_2 \cdot B_3 \\ D_2 &= A_2 \cdot B_0 \oplus A_1 \cdot B_1 \oplus A_0 \cdot B_2 \oplus A_3 \cdot B_3 \\ D_3 &= A_3 \cdot B_0 \oplus A_2 \cdot B_1 \oplus A_1 \cdot B_2 \oplus A_0 \cdot B_3 \end{aligned} \quad (1.13)$$

Operáciu násobenia (1.12) je možné zapísať aj v maticovom tvare

$$\begin{bmatrix} D_0 \\ D_1 \\ D_2 \\ D_3 \end{bmatrix} = \begin{bmatrix} A_0 & A_3 & A_2 & A_1 \\ A_1 & A_0 & A_3 & A_2 \\ A_2 & A_1 & A_0 & A_3 \\ A_3 & A_2 & A_1 & A_0 \end{bmatrix} \begin{bmatrix} B_0 \\ B_1 \\ B_2 \\ B_3 \end{bmatrix} = \mathbf{A} \begin{bmatrix} B_0 \\ B_1 \\ B_2 \\ B_3 \end{bmatrix} \quad (1.14)$$

pričom algoritmus Rijndael využíva pri šifrovaní násobenie vhodne vybranou konštantnou⁴ maticou. V prípade dešifrovania je použitá jej inverzia.

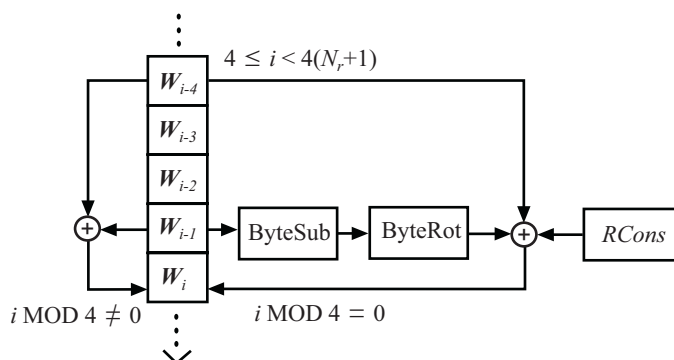
1.2.2 ŠTRUKTÚRA ŠIFRY

Šifra Rijndael je iteračná bloková šifra (t.j. používa N_r opakujúcich sa rúnd) s voliteľnou veľkosťou bloku⁵ N_b a voliteľnou dĺžkou kľúča N_k . Hodnoty N_b a N_k môžu byť nastavené nezávisle na hodnoty 128, 192 a 256 bitov, pričom súvislosť jednotlivých parametrov ukazuje nasledujúca tabuľka.

Počet rúnd N_r , ako funkcia dĺžky bloku N_b (ako násobok 32 bitov) a dĺžky kľúča N_k (ako násobok 32 bitov)

N_r	$N_b = 4$	$N_b = 6$	$N_b = 8$
$N_k = 4$	10	12	14
$N_k = 6$	12	12	14
$N_k = 8$	14	14	14

Jednotlivé bloky šifry pracujú s údajmi (medzivýsledkami), nazývanými **Stav**. Stav je možné reprezentovať ako obdĺžnikovú maticu, ktorá má 4 riadky a N_b stĺpcov. Pred začiatkom šifrovania (prípadne aj počas samotného šifrovania tzv. metódou „on the fly“ ktorej princíp je znázornený na Obr.1) sa z $32 \times N_k$ -bitového kľúča vypočítajú 32-bitové tzv. rundové kľúče (RoundKeys), ktorých je $N_b + N_b N_r$.



Obr.1 Princíp „on the fly“ výpočtu rundových kľúčov pričom ByteSub a ByteRot sú špeciálne operácie opísané v ďalšej časti a RCons sú preddefinované konštanty.

⁴ Prvky tejto matice boli vybrané tak, aby umožnili efektívnu technickú realizáciu a preto majú len malé hodnoty – $(1)_{GF(2^8)}$, $(2)_{GF(2^8)}$, $(3)_{GF(2^8)}$.

⁵ Norma AES využíva len dĺžku bloku $N_b = 4$, t.j. 128 bitov. Dĺžky blokov 196 a 256 bitov nie sú podporované.

Prvých N_b rundových kľúčov sa „naXORuje“ s otvoreným textom ($32 \times N_b$ vstupných bitov, t.j. $4 \times N_b$ bajtov) a uložia sa do premennej **Stav**, ktorá je tvorená maticou **A** s rozmermi $4 \times N_b$ (matica **A** sa naplňuje po stĺpcoch, t.j. zhora dole a zľava doprava). Potom sa vykoná N_r rúnd podľa nasledujúceho pseudokódu v jazyku C:

```
Round ( State, RoundKey ) {
    ByteSub ( State );
    ShiftRow ( State );
    MixColumn ( State );           // nevykonava sa v poslednej runde!
    AddRoundKey ( State, RoundKey );
}
```

pričom **Stav** je reprezentovaný maticou

$$\mathbf{A} = \begin{bmatrix} A_{00} & A_{01} & A_{02} & \dots & \dots & A_{0N_b-1} \\ A_{10} & A_{11} & A_{12} & \dots & \dots & A_{1N_b-1} \\ A_{21} & A_{22} & A_{23} & \dots & \dots & A_{2N_b-1} \\ A_{31} & A_{32} & A_{33} & \dots & \dots & A_{3N_b-1} \end{bmatrix} \quad (1.15)$$

1.2.2.1 OPERÁCIA BYTESUB

Transformácia **ByteSub** je nelineárna bajtová substitúcia, realizovaná nezávisle na všetkých bajtoch matice (1.15). Substitučná tabuľka (tzv. S-box) je invertibilná transformácia skladajúca sa z dvoch transformácií:

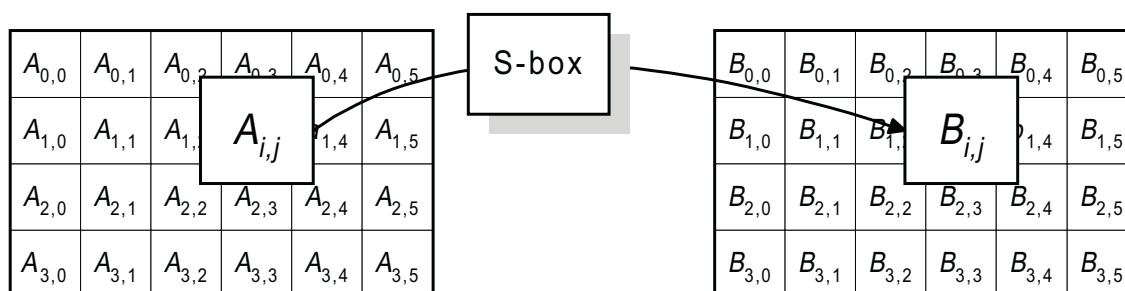
1. pre hodnotu $A_{ij} \in GF(2^8)$, $A_{ij} \neq 0$ určíme multiplikatívne inverzné číslo $X = A_{ij}^{-1}$, pre ktoré platí $A_{ij} \cdot X = 1$, pričom je použitá reprezentácia (1.4). Hodnota $A_{ij} = 0$ je mapovaná na hodnotu 0.
2. Hodnota $X \leftrightarrow (x_7, x_6, \dots, x_0)$ je transformovaná afinou transformáciou (nad telesom $GF(2)$) podľa vzťahu

$$\begin{bmatrix} y_0 \\ y_1 \\ y_2 \\ y_3 \\ y_4 \\ y_5 \\ y_6 \\ y_7 \end{bmatrix} = \begin{bmatrix} 1 & 0 & 0 & 0 & 1 & 1 & 1 & 1 \\ 1 & 1 & 0 & 0 & 0 & 1 & 1 & 1 \\ 1 & 1 & 1 & 0 & 0 & 0 & 1 & 1 \\ 1 & 1 & 1 & 1 & 0 & 0 & 0 & 1 \\ 1 & 1 & 1 & 1 & 1 & 0 & 0 & 0 \\ 0 & 1 & 1 & 1 & 1 & 1 & 0 & 0 \\ 0 & 0 & 1 & 1 & 1 & 1 & 1 & 0 \\ 0 & 0 & 0 & 1 & 1 & 1 & 1 & 1 \end{bmatrix} \begin{bmatrix} x_0 \\ x_1 \\ x_2 \\ x_3 \\ x_4 \\ x_5 \\ x_6 \\ x_7 \end{bmatrix} + \begin{bmatrix} 1 \\ 1 \\ 0 \\ 0 \\ 0 \\ 1 \\ 1 \\ 0 \end{bmatrix} \quad (1.16)$$

Použitie opísaného S-boxu na všetky bajty premennej stav je označené ako

```
ByteSub ( State )
```

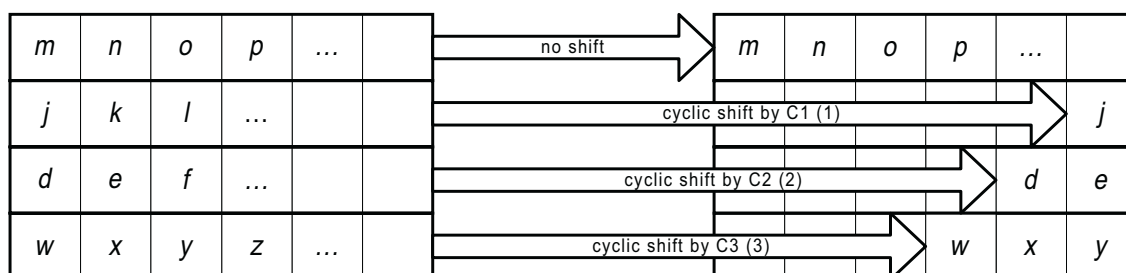
a je znázornené na Obr.2.



Obr.2 Operácia ByteSub

1.2.3 OPERÁCIA SHIFTRow

Operácia *ShiftRow* realizuje cyklický posuv jednotlivých riadkov matice *Stav*, pričom riadok 0 je neposunutý, riadok 1 sa posúva o C1 bajtov, riadok 2 o C2 bajtov a riadok 3 o C3 bajtov, čo je znázornené na Obr.3



Obr.3 Operácia ShiftRow

a označované ako

ShiftRow (State)

Posuny C1,C2,C3 závisia na hodnote N_b , čo je dokumentované v nasledujúcej tabuľke.

Hodnoty posunov pre rôzne hodnoty N_b

N_b	C1	C2	C3
4	1	2	3
6	1	2	3
8	1	3	4

1.2.3.1 OPERÁCIA MIXCOLUMN

Operácia *MixColumn* spracováva jednotlivé stĺpce matice *Stav* (interpretované ako koeficienty polynómu nad telesom $GF(2^8)$) pomocou súčinu \otimes (definovanom vzťahmi (1.12)-(1.14)) s polynómom

$$C(X) = 0x03X^3 + 0x01X^2 + 0x01X + 0x02 \quad (1.17)$$

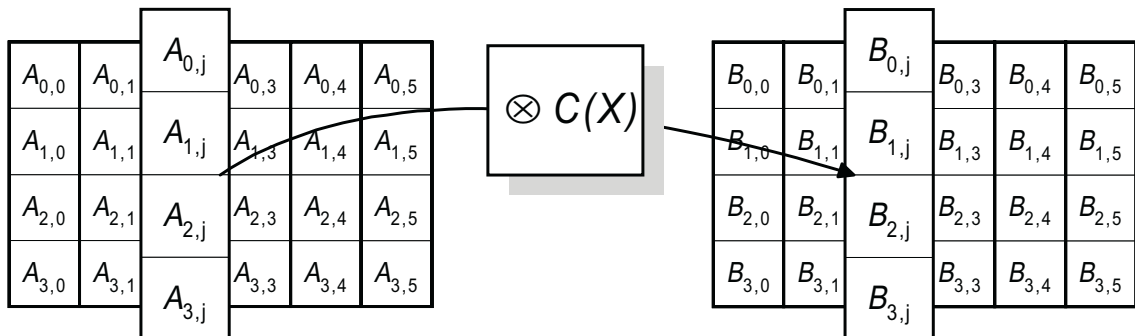
čo je možné reprezentovať maticovým zápisom

$$\begin{bmatrix} B_{0,j} \\ B_{1,j} \\ B_{2,j} \\ B_{3,j} \end{bmatrix} = \begin{bmatrix} 0x02 & 0x03 & 0x01 & 0x01 \\ 0x01 & 0x02 & 0x03 & 0x01 \\ 0x01 & 0x01 & 0x02 & 0x03 \\ 0x03 & 0x01 & 0x01 & 0x02 \end{bmatrix} \begin{bmatrix} A_{0,j} \\ A_{1,j} \\ A_{2,j} \\ A_{3,j} \end{bmatrix} \quad (1.18)$$

Operácia

MixColumn (State)

je znázornená na Obr.4.



Obr.4 Operácia MixColumn

1.2.3.2 OPERÁCIA ADDROUNDKEY

Táto operácia XORuje príslušný rundový kľúč a jednotlivé bajty matice *Stav*, čo je znázornené na Obr.5 a označovaná ako

AddRoundKey (State, RoundKey)

pričom dĺžka rundového kľúča K je zhodná s dĺžkou bloku.

$$\begin{array}{|c|c|c|c|c|c|} \hline A_{0,0} & A_{0,1} & A_{0,2} & A_{0,3} & A_{0,4} & A_{0,5} \\ \hline A_{1,0} & A_{1,1} & A_{1,2} & A_{1,3} & A_{1,4} & A_{1,5} \\ \hline A_{2,0} & A_{2,1} & A_{2,2} & A_{2,3} & A_{2,4} & A_{2,5} \\ \hline A_{3,0} & A_{3,1} & A_{3,2} & A_{3,3} & A_{3,4} & A_{3,5} \\ \hline \end{array}
 \oplus
 \begin{array}{|c|c|c|c|c|c|} \hline K_{0,0} & K_{0,1} & K_{0,2} & K_{0,3} & K_{0,4} & K_{0,5} \\ \hline K_{1,0} & K_{1,1} & K_{1,2} & K_{1,3} & K_{1,4} & K_{1,5} \\ \hline K_{2,0} & K_{2,1} & K_{2,2} & K_{2,3} & K_{2,4} & K_{2,5} \\ \hline K_{3,0} & K_{3,1} & K_{3,2} & K_{3,3} & K_{3,4} & K_{3,5} \\ \hline \end{array}
 =
 \begin{array}{|c|c|c|c|c|c|} \hline B_{0,0} & B_{0,1} & B_{0,2} & B_{0,3} & B_{0,4} & B_{0,5} \\ \hline B_{1,0} & B_{1,1} & B_{1,2} & B_{1,3} & B_{1,4} & B_{1,5} \\ \hline B_{2,0} & B_{2,1} & B_{2,2} & B_{2,3} & B_{2,4} & B_{2,5} \\ \hline B_{3,0} & B_{3,1} & B_{3,2} & B_{3,3} & B_{3,4} & B_{3,5} \\ \hline \end{array}$$

Obr.5 Operácia AddRoundKey

1.3 ZHRNUTIE

V rámci cvičenia sme prebrali základné bloky a matematický aparát šifry Rijndael. Ďalšie podrobnosti (napr. inverzná šifra, expanzia kľúča na rundové kľúče, optimalizácia pre rôzne architektúry, ...) je možné nájsť v [4],[5]. Veľmi pekná demonštrácia jednotlivých blokov šifry AES v Matlabe je v [7]. Na záver je možné konštatovať, že použité stavebné bloky šifry Rijndael sú relatívne nové a výrazne odlišné od blokov šifry DES.

LITERATÚRA

- [1] Advanced Encryption Standard, <http://www.nist.gov/aes>
- [2] Data Encryption Standard - FIPS PUB 46-3, Federal Information Processing Standards Publications, Reaffirmed 1999 October 25. U.S. Department of Commerce/National Institute of Standards and Technology. Dostupné v elektronickej forme – **FIPS46-3.pdf**.
- [3] J. Nechvatal, E. Barker, L. Bassham, W. Burr, M. Dworkin, J. Foti, E. Roback, “Report on the Development of the Advanced Encryption Standard (AES)”, U.S. Department of Commerce/National Institute of Standards and Technology, October 2, 2000, pp.1-116, available at [1]. Dostupné v elektronickej forme – **AES_r2report.pdf**.
- [4] J. Daemen, V. Rijmen, “The Rijndael Block Cipher”, AES Proposal, Version 2, September 1999, <http://www.nist.gov/aes>. Dostupné v elektronickej forme – **Rijndael.pdf**.
- [5] Advanced Encryption Standard (AES) - FIPS PUB 197, Federal Information Processing Standards Publications, November 26, 2001 U.S. Department of Commerce/National Institute of Standards and Technology. Dostupné v elektronickej forme – **FIPS-197.pdf**.
- [6] V. Klíma, “Šifrovací standard AES: Šifra Rijndael”, CHIP 11/1999, s.64-65.
- [7] J.J. Buchholz, “Matlab implementation of the Advanced Encryption Standard”, <http://buchholz.hs-bremen.de/aes/aes.htm>. Dostupné v elektronickej forme - **aes.pdf**, **aes.zip**.

PRÍLOHA

Optimalizované zdrojové kódy v jazyku C využívajú (aj) nasledujúce tabuľky:

```
word8 Logtable[256] = {
    0, 0, 25, 1, 50, 2, 26, 198, 75, 199, 27, 104, 51, 238, 223, 3,
    100, 4, 224, 14, 52, 141, 129, 239, 76, 113, 8, 200, 248, 105, 28, 193,
    125, 194, 29, 181, 249, 185, 39, 106, 77, 228, 166, 114, 154, 201, 9, 120,
    101, 47, 138, 5, 33, 15, 225, 36, 18, 240, 130, 69, 53, 147, 218, 142,
    150, 143, 219, 189, 54, 208, 206, 148, 19, 92, 210, 241, 64, 70, 131, 56,
    102, 221, 253, 48, 191, 6, 139, 98, 179, 37, 226, 152, 34, 136, 145, 16,
    126, 110, 72, 195, 163, 182, 30, 66, 58, 107, 40, 84, 250, 133, 61, 186,
    43, 121, 10, 21, 155, 159, 94, 202, 78, 212, 172, 229, 243, 115, 167, 87,
    175, 88, 168, 80, 244, 234, 214, 116, 79, 174, 233, 213, 231, 230, 173, 232,
    44, 215, 117, 122, 235, 22, 11, 245, 89, 203, 95, 176, 156, 169, 81, 160,
    127, 12, 246, 111, 23, 196, 73, 236, 216, 67, 31, 45, 164, 118, 123, 183,
    204, 187, 62, 90, 251, 96, 177, 134, 59, 82, 161, 108, 170, 85, 41, 157,
    151, 178, 135, 144, 97, 190, 220, 252, 188, 149, 207, 205, 55, 63, 91, 209,
    83, 57, 132, 60, 65, 162, 109, 71, 20, 42, 158, 93, 86, 242, 211, 171,
    68, 17, 146, 217, 35, 32, 46, 137, 180, 124, 184, 38, 119, 153, 227, 165,
    103, 74, 237, 222, 197, 49, 254, 24, 13, 99, 140, 128, 192, 247, 112, 7
};
```

```
word8 Alogtable[256] = {
    1, 3, 5, 15, 17, 51, 85, 255, 26, 46, 114, 150, 161, 248, 19, 53,
    95, 225, 56, 72, 216, 115, 149, 164, 247, 2, 6, 10, 30, 34, 102, 170,
    229, 52, 92, 228, 55, 89, 235, 38, 106, 190, 217, 112, 144, 171, 230, 49,
    83, 245, 4, 12, 20, 60, 68, 204, 79, 209, 104, 184, 211, 110, 178, 205,
    76, 212, 103, 169, 224, 59, 77, 215, 98, 166, 241, 8, 24, 40, 120, 136,
    131, 158, 185, 208, 107, 189, 220, 127, 129, 152, 179, 206, 73, 219, 118, 154,
    181, 196, 87, 249, 16, 48, 80, 240, 11, 29, 39, 105, 187, 214, 97, 163,
    254, 25, 43, 125, 135, 146, 173, 236, 47, 113, 147, 174, 233, 32, 96, 160,
    251, 22, 58, 78, 210, 109, 183, 194, 93, 231, 50, 86, 250, 21, 63, 65,
    195, 94, 226, 61, 71, 201, 64, 192, 91, 237, 44, 116, 156, 191, 218, 117,
    159, 186, 213, 100, 172, 239, 42, 126, 130, 157, 188, 223, 122, 142, 137, 128,
    155, 182, 193, 88, 232, 35, 101, 175, 234, 37, 111, 177, 200, 67, 197, 84,
    252, 31, 33, 99, 165, 244, 7, 9, 27, 45, 119, 153, 176, 203, 70, 202,
    69, 207, 74, 222, 121, 139, 134, 145, 168, 227, 62, 66, 198, 81, 243, 14,
    18, 54, 90, 238, 41, 123, 141, 140, 143, 138, 133, 148, 167, 242, 13, 23,
    57, 75, 221, 124, 132, 151, 162, 253, 28, 36, 108, 180, 199, 82, 246, 1
};
```

```
word8 S[256] = {
99, 124, 119, 123, 242, 107, 111, 197, 48, 1, 103, 43, 254, 215, 171, 118,
202, 130, 201, 125, 250, 89, 71, 240, 173, 212, 162, 175, 156, 164, 114, 192,
183, 253, 147, 38, 54, 63, 247, 204, 52, 165, 229, 241, 113, 216, 49, 21,
4, 199, 35, 195, 24, 150, 5, 154, 7, 18, 128, 226, 235, 39, 178, 117,
9, 131, 44, 26, 27, 110, 90, 160, 82, 59, 214, 179, 41, 227, 47, 132,
83, 209, 0, 237, 32, 252, 177, 91, 106, 203, 190, 57, 74, 76, 88, 207,
208, 239, 170, 251, 67, 77, 51, 133, 69, 249, 2, 127, 80, 60, 159, 168,
81, 163, 64, 143, 146, 157, 56, 245, 188, 182, 218, 33, 16, 255, 243, 210,
205, 12, 19, 236, 95, 151, 68, 23, 196, 167, 126, 61, 100, 93, 25, 115,
96, 129, 79, 220, 34, 42, 144, 136, 70, 238, 184, 20, 222, 94, 11, 219,
224, 50, 58, 10, 73, 6, 36, 92, 194, 211, 172, 98, 145, 149, 228, 121,
231, 200, 55, 109, 141, 213, 78, 169, 108, 86, 244, 234, 101, 122, 174, 8,
186, 120, 37, 46, 28, 166, 180, 198, 232, 221, 116, 31, 75, 189, 139, 138,
112, 62, 181, 102, 72, 3, 246, 14, 97, 53, 87, 185, 134, 193, 29, 158,
225, 248, 152, 17, 105, 217, 142, 148, 155, 30, 135, 233, 206, 85, 40, 223,
140, 161, 137, 13, 191, 230, 66, 104, 65, 153, 45, 15, 176, 84, 187, 22
};
```

```
word8 Si[256] = {
82, 9, 106, 213, 48, 54, 165, 56, 191, 64, 163, 158, 129, 243, 215, 251,
124, 227, 57, 130, 155, 47, 255, 135, 52, 142, 67, 68, 196, 222, 233, 203,
84, 123, 148, 50, 166, 194, 35, 61, 238, 76, 149, 11, 66, 250, 195, 78,
8, 46, 161, 102, 40, 217, 36, 178, 118, 91, 162, 73, 109, 139, 209, 37,
114, 248, 246, 100, 134, 104, 152, 22, 212, 164, 92, 204, 93, 101, 182, 146,
108, 112, 72, 80, 253, 237, 185, 218, 94, 21, 70, 87, 167, 141, 157, 132,
144, 216, 171, 0, 140, 188, 211, 10, 247, 228, 88, 5, 184, 179, 69, 6,
208, 44, 30, 143, 202, 63, 15, 2, 193, 175, 189, 3, 1, 19, 138, 107,
58, 145, 17, 65, 79, 103, 220, 234, 151, 242, 207, 206, 240, 180, 230, 115,
150, 172, 116, 34, 231, 173, 53, 133, 226, 249, 55, 232, 28, 117, 223, 110,
71, 241, 26, 113, 29, 41, 197, 137, 111, 183, 98, 14, 170, 24, 190, 27,
252, 86, 62, 75, 198, 210, 121, 32, 154, 219, 192, 254, 120, 205, 90, 244,
31, 221, 168, 51, 136, 7, 199, 49, 177, 18, 16, 89, 39, 128, 236, 95,
96, 81, 127, 169, 25, 181, 74, 13, 45, 229, 122, 159, 147, 201, 156, 239,
160, 224, 59, 77, 174, 42, 245, 176, 200, 235, 187, 60, 131, 83, 153, 97,
23, 43, 4, 126, 186, 119, 214, 38, 225, 105, 20, 99, 85, 33, 12, 125
};
```

a pre násobenie v $GF(2^8)$ využívajú nasledujúci kód v jazyku C:

```
word8 mul(word8 a, word8 b) {
/* multiply two elements of GF(2^m)
* needed for MixColumn and InvMixColumn
*/
if (a && b)
return Alogtable[(Logtable[a] + Logtable[b])%255];
else
return 0;
}
```

Príklad 3

Vysvetlite, ako je možné uvedené tabuľky využiť pri softvérovej realizácii algoritmu Rijndael. Na akom princípe sú zostrojené uvedené tabuľky?